

Prof. Dr. Alfred Toth

Formales System der Metaobjektivation III

1. In Toth (2014a) waren die in Toth (2014b) definierten acht ontisch-semiotischen Abbildungen

$$O \rightarrow Z = \quad [[[\alpha.\delta] [\varepsilon.\zeta]], [[\beta.\eta]], [\theta.\iota], [[\gamma.\kappa], [\lambda.\mu]]] \rightarrow \\ [[[3.a], [b.c]], [[2.d], [e.f]], [[1.g], [h.i]]]$$

$$(O \rightarrow Z)^{-1} = \quad [[[[3.a], [b.c]], [[2.d], [e.f]], [[1.g], [h.i]]] \rightarrow \\ [[[\alpha.\delta] [\varepsilon.\zeta]], [[\beta.\eta]], [\theta.\iota], [[\gamma.\kappa], [\lambda.\mu]]]$$

$$\times O \rightarrow Z = \quad [[[[\mu.\lambda], [\kappa.\gamma]], [[\iota.\theta], [\eta.\beta]], [[\zeta.\varepsilon], [\delta.\alpha]]] \rightarrow \\ [[[3.a], [b.c]], [[2.d], [e.f]], [[1.g], [h.i]]]$$

$$(\times O \rightarrow Z)^{-1} = \quad [[[[3.a], [b.c]], [[2.d], [e.f]], [[1.g], [h.i]]] \rightarrow \\ [[[[\mu.\lambda], [\kappa.\gamma]], [[\iota.\theta], [\eta.\beta]], [[\zeta.\varepsilon], [\delta.\alpha]]]$$

$$O \rightarrow \times Z = \quad [[[\alpha.\delta] [\varepsilon.\zeta]], [[\beta.\eta]], [\theta.\iota], [[\gamma.\kappa], [\lambda.\mu]]] \rightarrow \\ [[[i.h], [g.1]], [[f.e], [d.2]], [[c.b], [a.3]]]$$

$$(O \rightarrow \times Z)^{-1} = \quad [[[[i.h], [g.1]], [[f.e], [d.2]], [[c.b], [a.3]]] \rightarrow \\ [[[\alpha.\delta] [\varepsilon.\zeta]], [[\beta.\eta]], [\theta.\iota], [[\gamma.\kappa], [\lambda.\mu]]]$$

$$\times O \rightarrow \times Z = \quad [[[[\mu.\lambda], [\kappa.\gamma]], [[\iota.\theta], [\eta.\beta]], [[\zeta.\varepsilon], [\delta.\alpha]]] \rightarrow \\ [[[i.h], [g.1]], [[f.e], [d.2]], [[c.b], [a.3]]]$$

$$(\times O \rightarrow \times Z)^{-1} = \quad [[[[i.h], [g.1]], [[f.e], [d.2]], [[c.b], [a.3]]] \rightarrow \\ [[[[\mu.\lambda], [\kappa.\gamma]], [[\iota.\theta], [\eta.\beta]], [[\zeta.\varepsilon], [\delta.\alpha]]].$$

unter Zuhilfenahme der in Toth (2014c) neu definierten ontisch-semiotischen Operationen

- \equiv Identität
- $>$ Selektion
- \mapsto thetische Zuordnung
- \mapsto analoge Zuordnung.

auf folgendes Reduktionssystem von "Pfeilkategorien" abgebildet worden

$\mu_1:$	$[\leftarrow, \leftarrow]$	}		
$\mu_2:$	$[\leftarrow, \leftarrow]$			
$\mu_3:$	$[\leftarrow, \leftarrow]$			
$\mu_4:$	$[\leftarrow, \leftarrow]$		k	$[\leftarrow, \leftarrow]$
$\mu_5:$	$[\leftarrow, \leftarrow]$		k	$[\leftarrow, \leftarrow]$
$\mu_6:$	$[\leftarrow, \leftarrow]$		k	$[\leftarrow, \leftarrow]$
$\mu_7:$	$[\leftarrow, \leftarrow]$		k	$[\leftarrow, \leftarrow]$
$\mu_8:$	$[\leftarrow, \leftarrow]$			
$\mu_9:$	$[\leftarrow, \leftarrow]$			
$\mu_{10}:$	$[\leftarrow, \leftarrow]$			

Mit Hilfe dieser Pfeilkategorien gelangte man dann zu den folgenden abstraktesten Basistypen der Abbildungen von Zeichen auf Objekte, Objekten auf Zeichen oder zwischen Zeichen bzw. Objekten

- $\mu_{1*}: [[\leftarrow, \leftarrow], [\leftarrow, \leftarrow]]$
- $\mu_{2*}: [[\leftarrow, \leftarrow], [\leftarrow, \leftarrow]]$
- $\mu_{3*}: [[\leftarrow, \leftarrow], [\leftarrow, \leftarrow]]$
- $\mu_{4*}: [[\leftarrow, \leftarrow], [\leftarrow, \leftarrow]]$

- $\mu_{5*}: [[\leftarrow, \leftarrow], [\leftarrow, \leftarrow]]$
- $\mu_{6*}: [[\leftarrow, \leftarrow], [\leftarrow, \leftarrow]]$
- $\mu_{7*}: [[\leftarrow, \leftarrow], [\leftarrow, \leftarrow]]$

- $\mu_{8*}: [[\leftarrow, \leftarrow], [\leftarrow, \leftarrow]]$
- $\mu_{9*}: [[\leftarrow, \leftarrow], [\leftarrow, \leftarrow]]$

- $\mu_{10*}: [[\leftarrow, \leftarrow], [\leftarrow, \leftarrow]].$

Im folgenden wählen wir aus der großen Zahl von Modellen für die natürlichen Transformationen ontisch-semiotischer Pfeilkategorien gruppenweise möglichst kohärente Beispiele.

2.1. μ_1^* : $[[\leftarrow, \leftarrow], [\leftarrow, \leftarrow]]$



Materiale Permanenz. Schaffhauserstr. 645, 8052 Zürich

2.2 μ_2^* : $[[\leftarrow, \leftarrow], [\leftarrow, \leftarrow]]$



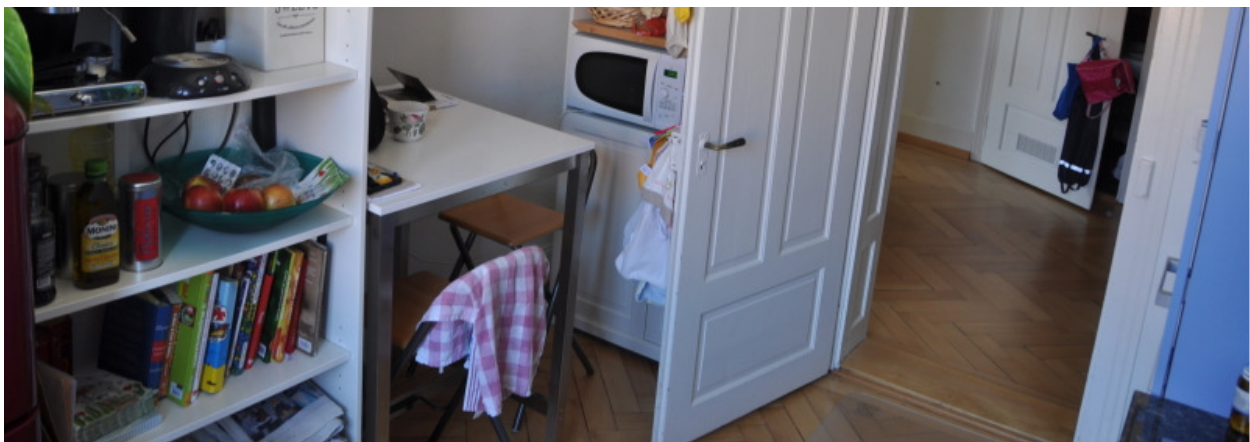
Materiale Permanenz bei teilsystemischer Öffnung.
Kügelilostr. 20, 8050 Zürich

2.3. μ_3^* : [[↔, ↔], [↔, ↔]]



Materiale Permanenz bei halboffenem Objektkonnex.
Pfingstweidstr. 98, 8005 Zürich

2.4. μ_4^* : [[↔, ↔], [↔, ↔]]



Materiale Permanenz bei vollständigem Objektkonnex.
Hegarstr. 22, 8032 Zürich

2.5. μ_5^* : $[[\leftarrow, \leftarrow], [\leftarrow, \leftarrow]]$



Nicht-Permanenz durch materiale Differenz. Dornacherstr. 25, 4053 Basel

2.6. μ_6^* : $[[\leftarrow, \leftarrow], [\leftarrow, \leftarrow]]$



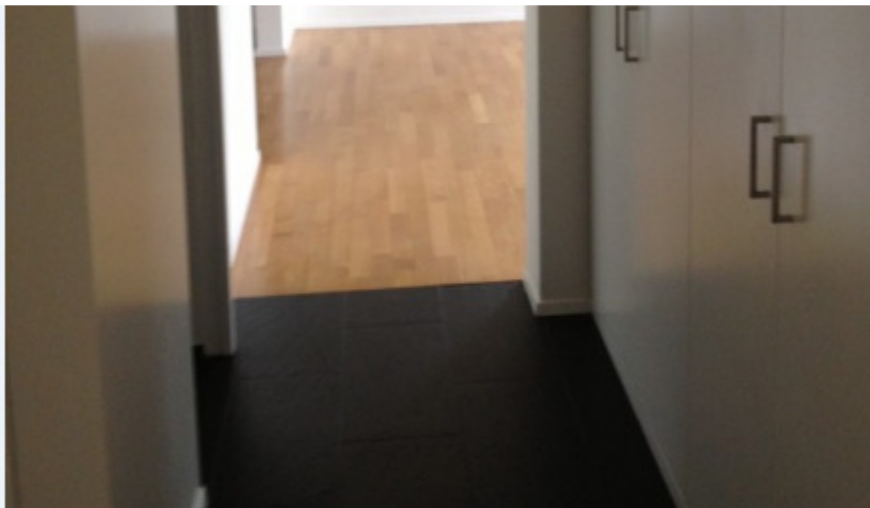
Nicht-Permanenz durch objektale Differenz. Witikonstr. 337, 8053 Zürich

2.7. μ_7^* : [[←, ←], [←, ←]]



Nicht-Permanenz durch räumliche Differenz. Kalkbreitestr. 115, 8003 Zürich

2.8. μ_8^* : [[←, ←], [←, ←]]



Teilsystemische Öffnung bei Nicht-Permanenz.
Fritz Fleiner-Weg 2, 8044 Zürich

2.9. μ_9^* : $[[\leftarrow, \leftarrow], [\leftarrow, \leftarrow]]$



Teilsystemische Öffnung bei Permanenz. Espenmoosstr. 16, 9008 St. Gallen

2.10. μ_{10}^* : $[[\leftarrow, \leftarrow], [\leftarrow, \leftarrow]]$



Teilsystemische Vollständigkeit. Hanfrosee 3, 8055 Zürich

Literatur

Toth, Alfred, Formales System der Metaobjektivation I-II. In: Electronic Journal for Mathematical Semiotics, 2014a

Toth, Alfred, Ontisch-semiotische Abbildungen. In: Electronic Journal for Mathematical Semiotics, 2014b

Toth, Alfred, Formale Objekttheorie I-III. In: Electronic Journal for Mathematical Semiotics, 2014c

28.4.2014